

특성곡선고속전진법의 한가지 개선방법

리주혁, 허명송

아이코날형하밀톤-야코비방정식은 최량조종문제와 화상처리, 측지학 등 많은 분야에 적용되고있으며 이 방정식의 수값풀이를 얻기 위한 효과적인 방법들이 많이 제기되고있다.

고속전진법은 등방성아이코날방정식의 근사풀이를 계산하는 효과적인 방법이며 순서화된 상승법, 고속썰기법, 고속반복법은 비등방성아이코날방정식을 풀기 위한 효과적인 방법들이다.

최근에 비등방성아이코날방정식에 대한 4각형그물에서의 특성곡선고속전진법이 제기되었으며 이 방법이 이론적으로 안정하고 정확하다는것이 증명되었다.[1]

또한 그것의 3각형그물로의 확장도 나왔다.[2] 그러나 특성곡선고속전진법에서는 고속전진법에서 복소뿌리를 피하기 위하여 제기된 CFL-형조건과 같은 조건이 얻어지지 못하였다.[1] 또한 매 점에서 복잡한 형태로 표시되는 결수를 가지는 2차방정식의 풀이를 얻어야 하므로 루적오차에 의하여 실지 계산정확도가 충분히 보장되지 못하게 된다.[2]

론문에서는 선행연구[1]에서 제기한 비등방성아이코날방정식의 수값풀이법에서의 문제점[1, 2]을 극복하기 위한 한가지 방법을 제기하였다.

다음과 같이 주어지는 $T=T(x)$ 에 관한 비등방성아이코날방정식을 생각하자.

$$\|\nabla T\|^2 - (1 - v(x) \cdot \nabla T)^2 / (F(x))^2 = 0, \quad x = (x, y) \in \Omega \subset \mathbb{R}^2 \quad (1)$$

$$T(x) = q(x), \quad x = (x, y) \in \partial\bar{\Omega} \subset \partial\Omega \quad (2)$$

여기서 Ω 는 열린연결모임이고 $v = (v_1(x), v_2(x)) : \mathbb{R}^2 \rightarrow \mathbb{R}^2$, $q : \mathbb{R}^2 \rightarrow \mathbb{R}$, $F : \mathbb{R}^2 \rightarrow \mathbb{R}$ 이다.

론문전반에 걸쳐 $F(x) > 0$, $x \in \Omega$ 라고 가정한다.

이제 경계값문제 (1), (2)를 풀기 위하여 제기된 방법[2]에서 나타난 난점을 해소하기 위한 연구를 진행한다.

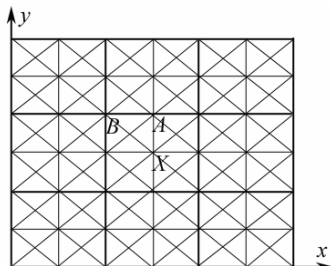


그림 1. 리산화된 직4각형구역

$\Omega \subset \mathbb{R}^2$ 를 3각형그물로 리산화된 직4각형구역이라고 하자.

아래에서 논의되는 수값풀이법은 임의의 3각형그물에서도 그대로 적용할수 있다.

여기서는 그림 1과 같은 가장 간단한 경우를 고찰한다.

먼저 선행연구[2]방법을 요약하여 개괄한다.

그림 1의 3각형 XAB 를 고찰하자.

우리는 3각형의 정점 $A = (a_1, a_2)$, $B = (b_1, b_2)$ 에서의 값을

알 때 점 $X = (x, y)$ 에서의 값을 계산하여야 한다.

d_{AX} 와 d_{BX} 를 각각 3각형의 두 변 AX 와 BX 방향으로의 T 의 방향도함수라고 하자.

이때 $d_{AX} = \nabla T \cdot AX / |AX| = T_x m_{11} + T_y m_{12}$, $d_{BX} = \nabla T \cdot BX / |BX| = T_x m_{21} + T_y m_{22}$ 가 성립된다. 여기서 T_x 와 T_y 는 T 의 x, y 성분의 편도함수이고

$m_{11}=(x-a_1)/|AX|$, $m_{12}=(y-a_2)/|AX|$, $m_{21}=(x-b_1)/|BX|$, $m_{22}=(y-b_2)/|BX|$ 이며 $|AX|$ 와 $|BX|$ 는 유클리드노름이다.

행렬표시로 다시 쓰면 $d=M\nabla T$, $d=(d_{AX}, d_{BX})^T$, $M=\begin{bmatrix} m_{11} & m_{12} \\ m_{21} & m_{22} \end{bmatrix}$ 로 된다.

AX 와 BX 가 한 직선에 놓이지 않으므로 $\nabla T=M^{-1}d$ 이다. 이 식을 리용하여 ∇T 의 방향도함수를 근사시키면 $d_{AX}\approx[T(X)-T(A)]/|AX|$, $d_{BX}\approx[T(X)-T(B)]/|BX|$ 로 된다.

$\nabla T=M^{-1}d$ 를 간단히 하면 그물점 $X=(x_i, y_j)$ 에서 T 의 편도함수의 유한계차근사는

$$T_x(x_i, y_j)\approx aT(x_i, y_j)+b, T_y(x_i, y_j)\approx cT(x_i, y_j)+d \quad (3)$$

로 된다. 여기서

$$a=m_{22}/[(m_{22}m_{11}-m_{12}m_{21})|AX|]-m_{12}/[(m_{22}m_{11}-m_{12}m_{21})|BX|], \quad (4)$$

$$b=-T(A)m_{22}/[(m_{22}m_{11}-m_{12}m_{21})|AX|]+m_{12}T(B)/[(m_{22}m_{11}-m_{12}m_{21})|BX|], \quad (5)$$

$$c=-m_{21}/[(m_{22}m_{11}-m_{12}m_{21})|AX|]+m_{11}/[(m_{22}m_{11}-m_{12}m_{21})|BX|], \quad (6)$$

$$d=T(A)m_{21}/[(m_{22}m_{11}-m_{12}m_{21})|AX|]-m_{11}T(B)/[(m_{22}m_{11}-m_{12}m_{21})|BX|]. \quad (7)$$

이때 a 와 b 는 x -성분계차결수라고 부르고 c 와 d 는 y -성분계차결수라고 부른다.

식 (3)-(7)을 방정식 (1)에 갈아넣으면 방정식

$$(aT_{i,j}+b)^2+(cT_{i,j}+d)^2-(1-(v_1)_{i,j}(aT_{i,j}+b)-(v_2)_{i,j}(cT_{i,j}+d))^2/F_{i,j}^2=0$$

을 얻는다. 여기서 $T_{i,j}$ 는 $T(x_i, y_j)$ 의 근사값이다.

위의 방정식을 2차방정식형태로 다시 쓰면

$$P=a^2(F^2-v_1^2)+c^2(F^2-v_2^2)-2acv_1v_2, R=b^2(F^2-v_1^2)+d^2(F^2-v_2^2)-2bdv_1v_2+2bv_1+2dv_2-1,$$

$$Q=2ab(F^2-v_1^2)+2cd(F^2-v_2^2)-2adv_1v_2-2bcv_1v_2+2av_1+2cv_2$$

라고 할 때 $PT_{i,j}^2+QT_{i,j}+R=0$ 이 성립되고

$$T_{i,j}=\max([-Q/2+(Q^2/4-PR)^{1/2}]/P, -Q/2-(Q^2/4-PR)^{1/2}]/P). \quad (8)$$

지금까지 선행연구[2]방법을 요약하여 개괄하였다.

2차방정식 $PT_{i,j}^2+QT_{i,j}+R=0$ 의 결수들은 많은 계산들을 동반하게 되며 그 과정에 정확도가 보장되지 못한다. 또한 이러한 계산들을 많은 그물점들에서 반복하여 진행하는 과정에 오차는 더 커지게 된다.

이 오차를 줄이기 위하여 6개의 3각형에서 논의한 선행연구[2]에서와는 달리 논문에서는 8개의 3각형에서 논의를 진행하며 식 (8)을 보다 간단한 식으로 개조한다.

2차방정식 $PT_{i,j}^2+QT_{i,j}+R=0$ 의 판별식을 평가하자.

$$D/4=[ab(F^2-v_1^2)+cd(F^2-v_2^2)-adv_1v_2-bcv_1v_2+av_1+cv_2]^2-[a^2(F^2-v_1^2)+c^2(F^2-v_2^2)-2acv_1v_2][b^2(F^2-v_1^2)+d^2(F^2-v_2^2)-2bdv_1v_2+2bv_1+2dv_2-1]$$

$A=F^2-v_1^2$, $B=F^2-v_2^2$, $C=v_1v_2$ 라고 하고 웃식을 전개하면 다음과 같다.

$$\begin{aligned} \frac{D}{4} = & \underbrace{a^2b^2A^2}_1 + \underbrace{c^2d^2B^2}_2 + a^2d^2C^2 + b^2c^2C^2 + a^2v_1^2 + c^2v_2^2 + 2abcdAB - \underbrace{2a^2bdAC}_3 - \underbrace{2ab^2cAC}_4 + \\ & + \underbrace{2a^2bAv_1}_5 + 2abcAv_2 - \underbrace{2acd^2BC}_6 - \underbrace{2bc^2dBC}_7 + 2acdBv_1 + \underbrace{2c^2dBv_2}_8 + 2abcdC^2 - 2a^2dv_1^2v_2 - \end{aligned}$$

$$\begin{aligned}
& -2acd v_1 v_2^2 - 2abc v_1^2 v_2 - 2bc^2 v_1 v_2^2 + \underbrace{2acC}_9 - \underbrace{[a^2 b^2 A^2 + a^2 d^2 AB - 2a^2 bd AC + 2a^2 b A v_1]}_1 + \\
& + 2a^2 d v_2 - a^2 A + b^2 c^2 AB + \underbrace{c^2 d^2 B^2}_2 - \underbrace{2bc^2 d BC}_7 + 2bc^2 B v_1 + \underbrace{2c^2 d B v_2}_8 - c^2 B - \underbrace{2ab^2 c AC}_4 - \\
& - \underbrace{2acd^2 BC}_6 + 4abcd C^2 - 4abc v_1^2 v_2 - 4acd v_1 v_2^2 + \underbrace{2acC}_9 = \\
& = F^2[(bc - ad)^2(v_1^2 + v_2^2 - F^2) + 2(bc - ad)(av_2 - cv_1) + a^2 + c^2]
\end{aligned} \tag{9}$$

이제 $V = m_{11}m_{22} - m_{12}m_{21}$, $|AX| = l_1$, $|BX| = l_2$ 라고 하면

$$m_{11} = (x - a_1)/l_1, \quad m_{12} = (y - a_2)/l_1, \quad m_{21} = (x - b_1)/l_2, \quad m_{22} = (y - b_2)/l_2$$

로 표시할수 있으며

$$a = (m_{22}/l_1 - m_{12}/l_2)/V = (a_2 - b_2)/(Vl_1l_2), \quad c = (-m_{21}/l_1 + m_{11}/l_2)/V = (b_1 - a_1)/(Vl_1l_2),$$

$$b = (-T(A)m_{22}/l_1 + m_{12}T(B)/l_2)/V = [(y - a_2)T(B) - (y - b_2)T(A)]/(Vl_1l_2),$$

$$d = (T(A)m_{21}/l_1 - m_{11}T(B)/l_2)/V = [(x - b_1)T(A) - (x - a_1)T(B)]/(Vl_1l_2),$$

$$bc - ad = \frac{1}{V^2} \cdot \frac{-T(A)m_{11}m_{22} - T(B)m_{12}m_{21} + T(A)m_{21}m_{12} + T(B)m_{11}m_{22}}{l_1l_2} = \frac{T(B) - T(A)}{Vl_1l_2}.$$

이것을 식 (9)에 갈아넣으면 다음과 같다.

$$\begin{aligned}
D/4 &= F^2[(bc - ad)^2(v_1^2 + v_2^2 - F^2) + 2(bc - ad)(av_2 - cv_1) + a^2 + c^2] = \\
&= F^2[(v_1^2 + v_2^2 - F^2) \cdot (T(A) - T(B))^2 - (T(A) - T(B)) \cdot (v_2(a_2 - b_2) + \\
&\quad + v_1(a_1 - b_1)) + (a_1 - b_1)^2 + (a_2 - b_2)^2]/(Vl_1l_2)^2
\end{aligned}$$

dx, dy 를 각각 x, y 축방향으로의 그물점사이의 간격이라고 하자.

정리 1 $a_2 = b_2, a_1 = x$ 이면

$$T(X) = T(A) + \frac{1}{F^2 - v_2^2} \cdot \left[\frac{-\Delta y \Delta T v_1 v_2}{\Delta x} + \Delta y v_2 + \frac{dy}{dx} \cdot F \sqrt{(v_1^2 + v_2^2 - F^2) \Delta T^2 - 2v_1 \Delta x \Delta T + \Delta x^2} \right]$$

이 성립된다. 여기서 $\Delta T = T(A) - T(B)$, $\Delta x = a_1 - b_1$, $\Delta y = a_2 - y$ 이다.

증명 $a = (a_2 - b_2)/(Vl_1l_2) = 0$ 이므로 $P = c^2(F^2 - v_2^2)$, $Q = 2cd(F^2 - v_2^2) - 2bcv_1v_2 + 2cv_2$, $R = b^2(F^2 - v_1^2) + d^2(F^2 - v_2^2) - 2bdv_1v_2 + 2bv_1 + 2dv_2 - 1$ 로 된다. 따라서

$$V = [(x - a_1)(y - b_2) - (y - a_2)(x - b_1)]/(l_1l_2) = [(y - a_2)(b_1 - a_1)]/(l_1l_2) = \Delta x \Delta y / (l_1l_2)$$

이므로 $Vl_1l_2 = \Delta x \Delta y$ 이다.

위의 사실과 $x = a_1$ 이라는 사실을 리용하면 다음과 같다.

$$c = \frac{-\Delta x}{Vl_1l_2} = \frac{-\Delta x}{\Delta x \Delta y} = \frac{-1}{\Delta y}, \quad b = \frac{\Delta y \Delta T}{Vl_1l_2} = \frac{\Delta y \Delta T}{\Delta x \Delta y} = \frac{\Delta T}{\Delta x}, \quad d = \frac{(x - a_1) \Delta T + \Delta x T(A)}{\Delta x \Delta y} = \frac{T(A)}{\Delta y}$$

이 값들을 식 (9)에 대입하면

$$T(X) = T(A) + \frac{1}{F^2 - v_2^2} \cdot \left[\frac{-\Delta y \Delta T v_1 v_2}{\Delta x} + \Delta y v_2 + \frac{dy}{dx} \cdot F \sqrt{(v_1^2 + v_2^2 - F^2) \Delta T^2 - 2v_1 \Delta x \Delta T + \Delta x^2} \right]$$

이 성립되므로 정리는 증명된다.(증명끝)

주의 1 정리 1은 점 A 와 B 의 y -자리표가 같고 점 A 와 X 의 x -자리표가 같을 때 점 X 에서의 값이 점 A 와 점 B 의 값으로부터 어떻게 근사되는가 하는것을 보여준다.

정리 2 $a_1 = b_1, a_2 = y$ 이면

$$T(X) = T(A) + \frac{1}{F^2 - v_1^2} \cdot \left[\frac{-\Delta x \Delta T v_1 v_2}{\Delta y} + \Delta x v_1 + \frac{dx}{dy} \cdot F \sqrt{(v_1^2 + v_2^2 - F^2) \Delta T^2 - 2v_2 \Delta y \Delta T + \Delta y^2} \right]$$

로 된다. 여기서 $\Delta T = T(A) - T(B)$, $\Delta x = a_1 - x$, $\Delta y = a_2 - b_2$ 이다.

주의 2 정리 2는 점 A 와 B 의 x -자리표가 같고 점 A 와 X 의 y -자리표가 같을 때 점 X 에서의 값이 점 A 와 B 의 값으로부터 어떻게 근사되는가 하는것을 보여준다.

다음 정리 1, 2에 기초하여 문제 (1), (2)를 풀기 위한 수값풀이알고리즘을 제기한다.

그림 2에서와 같은 3각형 M_i ($i=1, 2, \dots, 8$) 들에서 논의를 진행한다.

그물점전체의 모임을 $\Omega_{\Delta x, \Delta y}$ 라고 하고 이 모임을 3개의 부분모임들로 나눈다.

T 값이 이미 확정된 그물점들의 모임을 A 라고 표시한다. 모임 A 의 적어도 하나의 원소와 직접 이웃한 그물점들의 모임을 N 으로 표시한다. 나머지 그물점들의 모임 $(A \cup N)^c$ 를 F 로 표시한다.

$\Omega_{\Delta x, \Delta y}$ 의 매 그물점 X 에 대하여 아래와 같이 T 값을 근사시킨다.

특성곡선고속전진법알고리즘[2]과 본질적으로 차이 나는 두가지 측면(2개의 걸음)만을 서술한다.

① 매 3각형 M_i ($i=1, 2, \dots, 8$) 에 대하여 3각형 M_i 의 두 정점(X 가 아닌)이 모두 모임 $A \cup N$ 에 들어가는가를 검사한다. 만일 그렇다면 해당한 첨수 i 를 모임 I 에 추가한다.

② $k \in I$ 인 매 3각형 M_k 에서 정리 1, 2를 리용하여 $T(X)$ 의 근사값을 계산한다.

걸음 ①, ②는 선행연구[2]에서의 알고리즘의 걸음 1과 걸음 2에 각각 해당된다.

다시말하여 특성곡선고속전진법알고리즘[2]의 걸음 1, 2를 각각 걸음 ①, ②로 교체하면 새로운 특성곡선고속전진법알고리즘을 얻을수 있다.

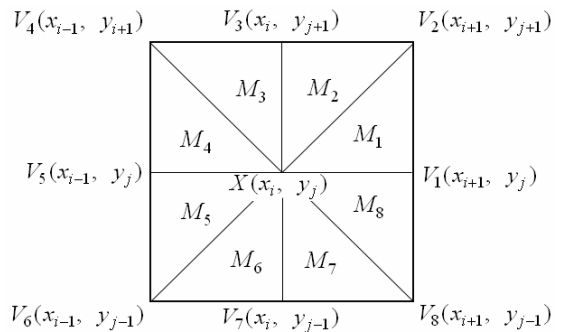


그림 2. X 점에서의 T 값근사를 위한 3각형 M_i ($i=1, 2, \dots, 8$)의 구성

참 고 문 헌

[1] D. Dahiya et al.; SIAM J. Sci. Comput., **35**, 4, 1880, 2013.

[2] D. Dahiya et al.; Wave Motion, **59**, 81, 2015.

주체106(2017)년 8월 5일 원고접수

A Method to Improve the Characteristic Curve Fast Marching Method

Ri Ju Hyok, Ho Myong Song

We have proposed a method to improve the characteristic curve fast marching method.

We have developed a characteristic curve fast marching method for the anisotropic Eikonal Hamilton-Jacobi equations.

Key word: characteristic curve fast marching method